

## 第四章 研究結果

### 第一節 受試者之基本資料的描述

#### 一、受試者的人口變項描述

有關各組受試者之各項人口變項資料如下表：

表 4-1 各組受試者在人口變項上的人數與百分比

人口變項	高社交焦慮組 (n=25)		低社交焦慮組 (n=29)	
	人數	百分比	人數	百分比
性別 男	7	28%	10	35%
女	18	72%	19	66%
年齡	M=20.20, (SD=1.22)		M=20.07, (SD=1.16)	

\* $p < .05$  ; \*\* $p < .01$  ; \*\*\* $p < .001$

#### 二、受試者在各量表上得分之概況：

在第一階段篩選受試者的過程中共施測 220 名大學生，有效樣本 217 份，在社交迴避與苦惱量表的得分上，所有受測者的平均數為 11.38，標準差為 7.92；在負面評價恐懼量表的得分上，所有受測者的平均數為 19.96，標準差為 7.54。

第二階段中每一受試者均填寫以下量表：社交迴避與苦惱量表 (SAD)、負面評價恐懼量表 (FNE)、情境特質焦慮量表-情境版與特質版 (STAI-S；STAI-T)、貝氏憂鬱量表第二版 (中文版) (BDI-II)、焦慮敏感度指標量表 (ASI)。研究者對兩組受試者在所有量表之得分進行獨立樣本 t 檢定，結果顯示，對所有的量表而言，高、低社交焦慮組受試者有顯著的組間差異，包括高社交焦慮組相較於低社交焦慮組有較多的社交迴避行為和社交苦惱感受 ( $p < .001$ )，對負面的評價有較多的恐懼 ( $p < .001$ )、有較高的焦慮敏感度 ( $p < .01$ ) 以及具有較高特質焦慮 ( $p < .001$ ) 和較高的情境焦慮 ( $p < .01$ )。

由此可知，在本研究中所探討的研究分組是有意義的。各組之量表得分平均數、標準差以及組間比較的結果詳見表 4-2。

表 4-2 各組受試者在各量表得分之情形

量表類型	高社交焦慮(n=25)		低社交焦慮(n=29)		t(52)
	M	SD	M	SD	
SAD	22.96	3.09	3.24	2.13	27.60***
FNE	26.28	2.79	10.17	4.53	15.96***
BDI-II	16.40	6.71	5.79	4.16	6.85***
ASI	33.12	9.55	23.10	7.20	4.39**
STAI-T	56.04	6.17	36.86	6.81	10.77***
STAI-S					
基準測量階段	39.68	7.19	32.62	5.87	3.97***
誘發情境焦慮後	45.24	8.53	34.28	7.84	4.92***
實驗完成後	40.36	7.64	34.55	7.36	2.84**

\* $p < .05$  ; \*\* $p < .01$  ; \*\*\* $p < .001$  ; SAD : 社交迴避與苦惱量表 ; FNE : 負面評價恐懼量表 ; BDI-II : 貝氏憂鬱量表第二版 ; ASI : 焦慮敏感度指標量表 ; STAI-T : 情境特質焦慮量表-特質版 ; STAI-S : 情境特質量表-情境版。

## 第二節、情境焦慮誘發程序的檢驗

為了檢驗分派到不同誘發情境下的受試者是否在情境焦慮上有所差異，因此收集實驗中每位受試者分別在誘發社交焦慮情境誘發前、誘發後以及實驗作業結束之後的情境特質焦慮量表-情境版（STAI-S；以下簡稱情境焦慮量表）得分，進行三因子變異數分析 2（組別）\* 2（誘發社交焦慮情境）\* 3（測量時間）。表 4-3 為受試者在三個不同測量時間中，情境特質焦慮量表-情境版（STAI-S）得分的平均數與標準差，以及高、低社交焦慮組在此三個不同測量時間中的組間差異比較。

表 4-3 高、低社交焦慮組在三個測量時間的 STAI-S 得分概況：

STAI-S (測量時間)	高社交焦慮組(n=25)		低社交焦慮組(n=29)		t(52)
	M	SD	M	SD	
基準測量階段	39.68	7.19	32.62	5.87	3.97***
誘發情境焦慮後	45.24	8.53	34.28	7.84	4.92***
實驗完成後	40.36	7.64	34.55	7.36	2.84**

\* $p < .05$ , \*\* $p < .01$ , \*\*\* $p < .001$

結果顯示組別、誘發社交焦慮情境與測量時間三個變項之間的交互作用無顯著 ( $p > .05$ )，然而誘發情境變項與測量時間變項之間的交互作用達顯著 ( $F(2,100) = 18.60, p < .001$ ，詳見表 4-4)；組別與測量時間之間的交互作用效果亦達顯著 ( $F(2,100) = 3.15, p < .05$ ，詳見表 4-4)。

在組別與測量時間交互作用達顯著後的單純主要效果檢定中，我們發現在高社交焦慮組中，測量時間變項的單純主要效果達顯著 ( $F(2, 100) = 5.97, p < .05$ )；經過事後比較(LSD)發現在誘發社交焦慮情境後，高社交焦慮組的情境焦慮 ( $M = 45.24, SD = 8.53$ ) 比在誘發社交焦慮情境前（基準測量階段）( $M = 39.68, SD = 7.19$ ) 及實驗完成後 ( $M = 40.36, SD = 7.64$ ) 的情境

焦慮高。然而在低社交焦慮組中，在三個不同測量時間的情境焦慮並無顯著差異 ( $p>.05$ )。

其次，高低社交焦慮組在基準測量階段 ( $F(1,52)=15.78, p<.001$ )、誘發情境後 ( $F(1,52)=24.23, p<.001$ )、以及實驗完成後 ( $F(1,52)=8.07, p<.01$ ) 三個測量時間的組間差異皆達顯著，即高社交焦慮組相對於低社交焦慮組，在基準測量階段 ( $M=39.68, SD=7.19$  vs.  $M=32.62, SD=5.87$ )、誘發社交焦慮情境後 ( $M=45.24, SD=8.53$  vs.  $M=34.28, SD=7.84$ ) 及實驗完成後皆具有較高的情境焦慮 ( $M=40.36, SD=7.64$  vs.  $M=34.55, SD=7.36$ )。以上皆可參考表 4-5。

另外，在誘發情境變項與測量時間變項之間的交互作用達顯著之下的單純主要效果檢定中，我們發現在誘發情境程序之後，誘發社交焦慮情境變項的主要效果達顯著 ( $F(1,52) = 8.48, p < .01$ )，即被分派至社交焦慮情境之受試者的情境焦慮 ( $M=42.72, SD=10.94$ ) 明顯比未被分派至社交焦慮情境的高 ( $M=35.44, SD=6.51$ )。其次，測量時間變項在有誘發社交焦慮情境中的單純主要效果達顯著 ( $F(2, 100)=18.91, p<.001$ )；經過事後比較 (LSD) 發現，被分派至社交焦慮情境的受試者，在誘發社交焦慮情境之後的情境焦慮 ( $M=42.72, SD=10.83$ )，明顯比在基準測量階段 ( $M=34.62, SD=7.83$ ) 及實驗完成後 ( $M=35.52, SD=8.67$ ) 的高。而測量時間變項在無誘發社交焦慮情境中的單純主要效果亦達顯著 ( $F(2, 100)=4.15, p<.05$ )；經過事後比較 (LSD) 發現，未被分派至社交焦慮情境之受試者，在誘發社交焦慮情境之後的情境焦慮 ( $M=35.44, SD=6.51$ )，明顯比在基準測量階段 ( $M=37.63, SD=6.51$ ) 及實驗完成後 ( $M=39.24, SD=6.71$ ) 的低。

綜合以上結果，首先我們發現在誘發社交焦慮情境之後，被分派至社交焦慮情境之受試者的焦慮程度明顯會升高，但在實驗完成之後的情境焦慮與在基準測量階段的並無顯著差異；而未被分派到社交焦慮情境之受試者的情境焦慮程度反而降低，但在實驗完成後情境焦慮與在基準測量階段的並無明顯差異。其次，被分派至社交焦慮情境之受試者的情境焦慮也比未被分派至社交焦慮情境之受試者的情境焦慮高。

另外，結果顯示在誘發社交焦慮情境後，高社交焦慮組的情境焦慮比在基準測量階段及實驗完成後的情境焦慮高，但對於低社交焦慮組，在三個不同測量時間的情境焦慮並無顯著差異。而高社交焦慮組相對於低社交焦慮組，在基準測量階段、誘發情境之後及實驗完成後皆具有較高的情境焦慮。因此，誘發社交焦慮情境的程序確實有提升高社交焦慮組的情境焦慮，但是此效果並沒有延續到實驗完成之後，但對於低社交焦慮者而言，此誘發程序對其焦慮程度的改變並沒有影響。

表 4-4 情境特質量表-情境版 (STAI-S) 得分之變異數分析摘要表

變異來源	<i>SS</i>	<i>df</i>	<i>MS</i>	<i>F</i>
組別	2,392.52	1	2,392.52	25.01***
誘發社交焦慮情境	0.80	1	0.80	0.008
組別*誘發社交焦慮情境	263.50	1	263.50	2.76
誤差項	4,782.40	50	95.65	
測量時間	277.14	2	138.57	5.42**
組別*測量時間	161.33	2	80.67	3.15*
誘發社交焦慮情境*測量時間	951.42	2	475.71	18.60***
組別*誘發社交焦慮情境*測量時間	22.55	2	11.27	0.441
誤差項	2,557.84	100	25.58	

\* $p < .05$ , \*\* $p < .01$ , \*\*\* $p < .001$

### 第三節、注意力偏誤的分析

#### 一、資料分析的預備

在線索典範的作業中，以反應時間為依變項，反應時間單位以毫秒計算。在剔除錯誤嘗試次之後(錯誤率為 2.20%)，計算每個受試者之反應時間的平均數與標準差，並將反應時間小於 150 毫秒、大於 1200 毫秒以及與超過平均數 3 個標準差的數值刪除，目的是排除界外值 (outliers) 的影響。

#### 二、反應時間的分析：

為了瞭解高、低社交焦慮組在不同誘發社交焦慮情境、線索狀況以及詞彙類別中，對於注意力作業的表現，我們以目標物的反應時間為依變數，進行 2 (組別) \* 2 (誘發社交焦慮情境) \* 2 (線索有效性) \* 7 (詞彙類別) 的四因子混合設計的共變數分析，其中以貝氏憂鬱量表得分作為共變數，目的是要排除憂鬱症狀的影響。在進行共變數分析前，需先檢驗組內迴歸係數是否符合同質性(homogeneity of within-class regression coefficient)的假定。迴歸同質性考驗請見表 4-5，從表 4-5 得知，迴歸係數同質性檢定之 F 值皆未達到顯著水準，有符合組內迴歸係數同質的基本假定，因此可以進行共變數分析。另外，表 4-6 是被分派與未被分派至社交焦慮情境中之受試者在不同線索狀況與詞彙類別中，對目標物反應時間之調整過的平均數與標準差概況；而表 4-7 是高、低社交焦慮組在不同線索狀況與詞彙類別中，對於目標物反應時間之調整後的平均數與標準差概況。而 4-8 是高、低社交焦慮組在不同情境、線索狀況、詞彙類別中，對於目標物反應時間之調整後的平均數與標準差概況。

表 4-5 迴歸同質組內性檢定摘要表

變異來源	<i>SS</i>	<i>Df</i>	<i>MS</i>	<i>F</i>	顯著性
組別 * BDI	10,644.55	2	5,322.27	0.09	.91
情境 * BDI	2,764.51	1	2,764.51	0.05	.83
組別 * 情境 * BDI	127,818.91	1	127,818.91	2.16	.15
誤差	2,787,855.69	47	59,316.08		

\* $p < .05$ , \*\* $p < .01$ , \*\*\* $p < .00$

表 4-6 被分派與未被分派至社交焦慮情境中的受試者在不同線索狀況、詞彙類別中，對於目標物反應時間之調整後的平均數與標準差

		被分派至社交焦慮情境組(n=29)		未被分派至社交情境組(n=25)	
		<i>M</i>	<i>SD</i>	<i>M</i>	<i>SD</i>
無效線索	中性	566.87(a)	12.80	546.37(a)	13.79
	一般正向	552.34(a)	15.46	562.54(a)	16.66
	社交正向	542.79(a)	13.99	498.79(a)	15.08
	身體正向	560.02(a)	16.23	553.34(a)	17.48
	一般威脅	558.24(a)	14.51	572.26(a)	15.63
	社交威脅	567.76(a)	15.91	571.75(a)	17.15
	身體威脅	558.10(a)	14.84	574.32(a)	15.99
有效線索	中性	507.24(a)	11.803	513.96(a)	12.72
	一般正向	504.16(a)	11.804	519.34(a)	12.72
	社交正向	510.03(a)	12.42	515.34(a)	13.38
	身體正向	504.56(a)	11.49	518.88(a)	12.38
	一般威脅	504.04(a)	12.29	518.18(a)	13.24
	社交威脅	508.38(a)	11.65	517.76(a)	12.55
	身體威脅	510.14(a)	11.56	514.32(a)	12.46

a 使用下列的值評估模型中的共變量：BDI = 10.7037.

表 4-7 高低社交焦慮組在不同線索狀況與詞彙類別中，對於目標物反應時間之調整後的平均數與標準差

		高社交焦慮(n=25)		低社交焦慮(n=29)	
		<i>M</i>	<i>SD</i>	<i>M</i>	<i>SD</i>
無效線索	中性	568.85(a)	17.02	547.49(a)	15.42
	一般正向	567.35(a)	20.43	548.19(a)	18.51
	社交正向	496.59(a)	18.82	544.70(a)	17.06
	身體正向	564.09(a)	21.45	550.76(a)	19.44
	一般威脅	567.56(a)	19.27	562.29(a)	17.46
	社交威脅	567.46(a)	21.05	571.45(a)	19.08
	身體威脅	579.41(a)	19.60	553.71(a)	17.76
有效線索	中性	504.12(a)	15.60	515.72(a)	14.14
	一般正向	513.49(a)	15.73	509.21(a)	14.25
	社交正向	507.96(a)	16.43	516.39(a)	14.89
	身體正向	505.94(a)	15.28	515.71(a)	13.85
	一般威脅	505.75(a)	16.33	514.75(a)	14.80
	社交威脅	505.80(a)	15.41	518.69(a)	13.97
	身體威脅	513.92(a)	15.30	510.48(a)	13.87

a 使用下列的值評估模型中的共變量： BDI = 10.7037.



表 4-8 高、低社交焦慮組在不同情境、線索狀況、詞彙類別中，對於目標物反應時間之調整後的平均數與標準差

有誘發社交焦慮情境		高社交焦慮組(n=14)		低社交焦慮組(n=15)	
		<i>M</i>	<i>SD</i>	<i>M</i>	<i>SD</i>
無效線索	中性	584.90(a)	22.56	551.95(a)	20.13
	一般正向	558.40(a)	27.41	547.84(a)	24.45
	社交正向	500.78(a)	23.79	577.97(a)	21.23
	身體正向	567.09(a)	28.83	554.42(a)	25.72
	一般威脅	562.28(a)	25.81	554.86(a)	23.03
	社交威脅	568.50(a)	28.30	566.88(a)	25.25
	身體威脅	577.52(a)	26.19	542.02(a)	23.37
有效線索	中性	505.71(a)	20.90	508.00(a)	18.65
	一般正向	509.41(a)	20.98	499.65(a)	18.72
	社交正向	508.37(a)	22.06	511.071(a)	19.68
	身體正向	505.78(a)	20.30	502.93(a)	18.11
	一般威脅	504.27(a)	21.77	503.35(a)	19.42
	社交威脅	503.09(a)	20.66	512.42(a)	18.43
	身體威脅	516.20(a)	20.54	504.90(a)	18.32
無誘發社交焦慮情境		高社交焦慮組(n=11)		低社交焦慮組(n=14)	
		<i>M</i>	<i>SD</i>	<i>M</i>	<i>SD</i>
無效線索	中性	553.42(a)	22.03	538.78(a)	20.38
	一般正向	575.86(a)	26.77	550.83(a)	24.76
	社交正向	491.21(a)	23.24	509.08(a)	21.50
	身體正向	561.09(a)	28.16	546.19(a)	26.05
	一般威脅	572.89(a)	25.21	571.35(a)	23.32
	社交威脅	566.67(a)	27.64	575.93(a)	25.57
	身體威脅	581.70(a)	25.58	566.33(a)	23.66
有效線索	中性	502.93(a)	20.42	523.34(a)	18.89
	一般正向	517.77(a)	20.49	520.16(a)	18.96
	社交正向	507.79(a)	21.55	521.82(a)	19.93
	身體正向	506.62(a)	19.83	529.02(a)	18.34
	一般威脅	507.64(a)	21.26	526.97(a)	19.67
	社交威脅	508.64(a)	20.18	525.89(a)	18.66
	身體威脅	511.99(a)	20.06	515.70(a)	18.56

a：使用下列的值評估模型中的共變量：BDI = 10.7037

表4-9 組別、誘發情境、線索有效性與詞彙類別四因子共變數分析摘要表

變異來源	SS	df	MS	F
BDI	8.51	1	8.51	0.000
情境	1,384.98	1	1,384.98	0.023
組別	54.03	1	54.03	0.001
情境*組別	1,836.75	1	1,836.75	0.031
誤差項	2,927,226.28	49	59,739.31	
線索有效性	138,029.57	1	138,029.57	63.34***
線索有效性*BDI	14,582.39	1	14,582.39	6.69*
線索有效性*情境	8,007.13	1	8,007.13	
線索有效性*組別	2,982.41	1	2,982.41	1.37
線索有效性*情境*組別	3,946.41	1	3,946.41	1.81
誤差項(線索有效性)	106,782.14	49	2,179.23	
詞彙類別	13,922.88	6	2,320.48	2.20*
詞彙類別*BDI	6,365.52	6	1,060.92	1.003
詞彙類別*情境	20,064.16	6	3,344.03	3.16**
詞彙類別*組別	16,651.99	6	2,775.33	2.63*
詞彙類別*情境*組別	8,558.28	6	1,426.38	1.35
誤差 (詞彙類別)	310,872.08	294	1,057.39	
線索有效性*詞彙類別	15,557.49	6	2,592.92	2.35*
線索有效性*詞彙類別*BDI	4,062.68	6	677.11	0.62
線索有效性*詞彙類別*情境	14,067.56	6	2,344.59	2.13*
線索有效性*詞彙類別*組別	11,493.28	6	1,915.55	1.74
線索有效性*詞彙類別*情境*組別	6,862.10	6	1,143.68	1.04
誤差 (線索有效性*詞彙類別)	323,868.52	294	1,101.59	

\* $p < .05$ , \*\* $p < .01$ , \*\*\* $p < .001$

經過共變數分析的結果顯示，組別與誘發社交焦慮情境與線索有效性與詞彙類別變項之間的四因子交互作用效果未達顯著 ( $p > .05$ )；但誘發社交焦慮情境與線索有效性與詞彙類別之間的三因子交互作用效果達顯著 ( $F(6,294)=2.13, p < .05$ )；組別與詞彙類別變項之間的二因子交互作用 ( $F(6,294)=2.63, p < .05$ )、誘發社交焦慮情境與詞彙變項之間的二因子交互作用 ( $F(6,294)=3.16, p < .01$ )，以及線索有效性與詞彙類別之間的二因子交互作用 ( $F(6,294)=2.35, p < .05$ ) 皆達顯著；以及線索有效性變項

的主要效果 ( $F(1,49)=63.34, p<.001$ ) 與詞彙類別的主要效果達顯著 ( $F(6,294)=2.20, p<.05$ )。表 4-9 為四因子混合設計之共變數分析的摘要表。

在誘發社交焦慮情境、線索有效性與詞彙類別之間交互作用效果達顯著後之單純交互作用效果的考驗中，我們發現誘發情境與詞彙類別變項在無效線索狀況的單純交互作用效果達顯著 ( $F(6,294)=5.77, p<.01$ )，且誘發社交焦慮情境與線索有效性變項在線索為社交正向詞彙的單純交互作用效果達顯著 ( $F(1,294)=14.62, p<.001$ )。

在進一步的單純單純主要效果的考驗中，結果顯示當線索為社交正向詞彙時，線索有效性變項在有誘發社交焦慮情境中的單純單純主要效果達顯著 ( $p<.001$ )，經過事後比較(LSD)發現，當線索為社交正向詞彙時，被分派至社交焦慮情境中的受試者在無效狀況中對目標物的反應時間 ( $M=540.50, SD=16.16$ )，明顯比在有效狀況中的慢 ( $M=510.13, SD=13.94$ )；此外其他效果皆未達顯著 ( $p>.05$ )。

另外，在進一步的單純主要效果考驗中發現，詞彙類別在高社交焦慮組中的單純主要效果達顯著 ( $F(6,138)=2.22, p<.05$ )，經過事後比較(LSD)發現，在高社交焦慮組中，當線索為社交正向詞彙時，對於目標物的反應時間明顯比線索是其他詞彙的反應時間快。其次，線索有效性變項在有誘發社交焦慮情境及無誘發社交焦慮情境中的單純主要效果亦達顯著 ( $p<.01$ )，以及在六類詞彙中（除了社交正向詞彙）線索有效性變項的單純主要效果達顯著 ( $p<.01$ )。

綜合以上，在對於目標物的反應時間上，有以下兩個發現，第一、在高社交焦慮組中，當線索為社交正向詞彙時，對於目標物的反應時間明顯

比線索是其他詞彙的反應時間快。第二、當線索為社交正向詞彙時，被分派至社交焦慮情境中的受試者在無效狀況中對目標物的反應時間，明顯比在有效狀況中的慢。

然而，根據本研究假設的預測，主要是想探討在不同誘發社交焦慮情境之下的高、低社交焦慮組，在不同線索狀況中，當線索為不同類別詞彙時，對目標物反應時間的影響。因此在以下的分析我們將採用事前比較，先將兩個不同的誘發情境變項拆開來個別分析，並分別在兩個不同的線索狀況下進行獨立樣本 *t* 檢定以探討當線索為不同詞彙類別時，高低社交焦慮組對於目標物之反應時間的影響。表 4-10 與 4-11 是高低社交焦慮組在不同誘發社交焦慮情境、線索狀況與詞彙類別的平均數與標準差。

表 4-10 被分派至社交焦慮情境中的組別、情境、線索有效性與詞彙類別對於目標物反應時間的平均數與標準差

有誘發社交焦慮情境		高社交焦慮組(n=14)		低社交焦慮組(n=15)		<i>t</i> (27)
		<i>M</i>	<i>SD</i>	<i>M</i>	<i>SD</i>	
無效線索	中性	571.18	60.63	561.74	83.35	0.35
	一般正向	545.24	78.25	557.23	117.60	-0.32
	社交正向	499.01	75.85	579.23	88.02	-2.62*
	身體正向	569.74	76.04	552.53	120.56	0.46
	一般威脅	554.84	60.73	560.17	109.20	-0.16
	社交威脅	570.68	89.09	565.33	104.76	0.15
	身體威脅	566.00	60.69	550.24	104.79	0.49
有效線索	中性	515.39	61.74	501.09	82.19	0.53
	一般正向	512.25	59.61	497.63	82.32	0.54
	社交正向	511.62	64.08	508.75	83.94	0.10
	身體正向	514.49	58.06	496.72	74.63	0.71
	一般威脅	510.34	60.41	499.01	83.14	0.42
	社交威脅	510.83	56.07	506.90	83.43	0.15
	身體威脅	518.68	60.27	503.13	78.03	0.60

\**p*<.05, \*\**p*<.01, \*\*\**p*<.001

表 4-11 未被分派至社交焦慮情境中的組別、情境、線索有效性與詞彙類別對於目標物反應時間的平均數與標準差

有誘發社交焦慮情境		高社交焦慮組(n=14)		低社交焦慮組(n=15)		t(23)
		M	SD	M	SD	
無效線索	中性	546.05	60.24	547.80	68.05	-0.07
	一般正向	568.78	69.19	559.49	49.94	0.39
	社交正向	490.26	74.56	510.24	42.81	-0.84
	身體正向	562.51	79.64	544.45	57.98	0.66
	一般威脅	568.89	75.36	576.25	54.79	-0.28
	社交威脅	567.84	62.82	574.49	76.15	-0.23
	身體威脅	575.51	74.35	573.90	70.80	0.06
有效線索	中性	508.13	48.67	516.97	53.80	-0.43
	一般正向	516.97	53.80	518.30	51.30	0.05
	社交正向	509.54	46.50	519.68	63.47	-0.44
	身體正向	511.30	64.96	523.29	47.57	-0.53
	一般威脅	510.90	53.15	522.98	61.05	-0.52
	社交威脅	512.80	45.00	520.81	56.24	-0.39
	身體威脅	513.33	65.01	514.06	40.34	-0.04

\* $p < .05$ , \*\* $p < .01$ , \*\*\* $p < .001$

結果顯示，在有誘發社交焦慮情境中，當線索為社交正向詞彙時，高低、社交焦慮組在無效線索狀況的組間差異達顯著 ( $t(27)=-2.62, p < .05$ )；亦即當線索為社交正向詞彙時，被分派至社交焦慮情境中的高社交焦慮組受試者，在無效線索狀況下對於目標物的反應時間( $M=499.01, SD=75.85$ )，明顯比低社交焦慮組的反應時間 ( $M=579.23, SD=88.02$ )快；但當線索為中性、一般正向、一般威脅詞彙及其他詞彙類別時，結果顯示被分派至社交焦慮情境中的高社交焦慮組與低社交焦慮組的組間差異皆未達顯著( $p > .05$ )。其次，在有效線索狀況下，當線索為所有詞彙類別時，高、低社交焦慮組的組間差異皆未達顯著，詳見表 4-10。

至於在無誘發社交焦慮情境中，我們發現當線索為所有的詞彙類別時，未被分派至社交焦慮情境中的高、低社交焦慮組，在無效線索與有效線索狀況下對於目標物的反應時間皆無顯著差異( $p>.05$ )，詳見表 4-11。

綜合以上結果，我們發現當線索是社交正向詞彙時，被分派至社交焦慮情境中的高社交焦慮組受試者，在無效線索狀況下對於目標物的反應時間，明顯比被分派至社交焦慮情境中的低社交焦慮組的反應時間快；但當線索為中性、一般正向、一般威脅及其他類別時，被分派至社交焦慮情境中的高社交焦慮組與低社交焦慮組，在對目標物的反應時間上並無顯著差異。其次，在有效線索狀況下，當線索是所有詞彙類別時，被分派至社交焦慮情境中的高社交焦慮組與低社交焦慮組，在對目標物的反應時間上皆無顯著差異。另外，當線索為所有的詞彙類別時，未被分派至社交焦慮情境中的高社交焦慮組相較於低社交焦慮組，在無效線索和有效線索狀況下對於目標物的反應時間皆無顯著差異。

由以上結果較支持 Mansell 等人(1999)所提出的觀點，即只有在社交焦慮情境下，高社交焦慮者相較於低社交焦慮組，在線索為社交正向詞彙時，對於目標物的反應時間有所差異。

### 三、線索有效性指標的分析

為了瞭解高低社交焦慮組在不同誘發社交焦慮情境中，對於不同詞彙類別的整體注意力傾向，我們以線索有效指標分數為依變數，進行 2（組別）\*2（誘發社交焦慮情境）\*7（詞彙類別）三因子的共變數變分析。其中以貝氏憂鬱量表得分作為共變數，目的是要排除憂鬱症狀的影響。在進行共變數分析前，需先檢驗組內迴歸係數是否符合同質性(homogeneity of within-class regression coefficient)的假定。迴歸同質性考驗詳見表 4-12，從

表 4-12 得知，迴歸係數同質性檢定之 F 值有的已達顯著水準，不符合組內迴歸係數同質的基本假定，因此不適合進行共變數分析，故直接使用三因子變異數分析進行分析。另外，表 4-13 為高、低社交焦慮組在不同詞彙類別中，線索有效性指標分數的平均數與標準差；表 4-14 為被分派與未被分派至社交焦慮情境的受試者在不同詞彙類別中，線索有效性指標分數的平均數與標準差。

表 4-12 迴歸同質組內性檢定摘要表

變異來源	SS	df	MS	F	顯著性
組別 * BDI	31,114.61	2	15,557.31	3.394	.042*
情境 * BDI	5,344.81	1	5,344.81	1.166	.286
組別 * 情境 * BDI	13,303.67	1	13,303.67	2.902	.095
誤差	224,617.02	49	4,584.02		

\* $p < .05$ , \*\* $p < .01$ , \*\*\* $p < .001$

表 4-13 高、低社交焦慮組在不同詞彙類別中，線索有效性指標分數的平均數與標準差

	高社交焦慮組(n=25)		低社交焦慮組(n=29)		t(52)
	M	SD	M	SD	
中性	47.93	52.47	46.25	53.46	0.116
一般正向	40.25	44.92	50.71	47.00	-0.83
社交正向	-15.54	47.38	31.89	60.73	-3.16**
身體正向	53.47	49.17	39.08	62.56	0.93
一般威脅	50.44	44.55	57.35	51.18	-0.53
社交威脅	57.74	58.74	56.14	41.13	0.117
身體威脅	53.86	39.75	53.26	59.96	0.04

表 4-14 被分派與未被分派至社交焦慮情境的受試者在不同詞彙類別中，線索有效性指標分數的平均數與標準差

	被分派至社交焦慮情境 組(n=29)		未被分派至社交焦慮情 境組(n=25)		<i>t</i> (52)
	<i>M</i>	<i>SD</i>	<i>M</i>	<i>SD</i>	
中性	58.30	45.46	33.95	57.85	1.73
一般正向	46.76	54.60	44.84	34.30	0.16
社交正向	30.37	64.44	-13.77	43.27	2.91**
身體正向	55.54	55.68	34.38	56.85	1.38
一般威脅	53.11	47.02	55.35	49.85	-0.17
社交威脅	59.12	57.08	54.28	40.13	0.35
身體威脅	47.21	54.56	60.87	46.87	-0.98

結果顯示組別與誘發社交焦慮情境與詞彙類別變項之間的三因子交互作用效果未達顯著 ( $p > .05$ )；但線索有效性指標分數的主要效果達顯著 ( $F(6,300) = 7.02, p < .001$ )；組別與詞彙類別之間的交互作用達顯著 ( $F(6,300) = 2.27, p < .05$ ) 且誘發社交焦慮情境與詞彙類別之間的交互作用效果達顯著 ( $F(6,300) = 2.26, p < .05$ )，詳見表 4-15。

表 4-15 組別、情境與詞彙類別對線索有效性指標分數之變異數分析摘要表

變異來源	<i>SS</i>	<i>df</i>	<i>MS</i>	<i>F</i>
組別	3,524.69	1	3,524.69	0.73
情境	10,874.47	1	10,874.47	2.24
組別*情境	14,422.04	1	14,422.04	2.97
誤差項	242,729.06	50	4,854.58	
詞彙類別	92,060.38	6	15,343.40	7.02***
詞彙類別*組別	29,757.81	6	4,959.63	2.27*
詞彙類別*情境	29,594.12	6	4,932.35	2.26*
詞彙類別*組別*情境	12,620.21	6	2,103.37	0.96
誤差項 (詞彙類別)	655,862.40	300	2,186.21	

\* $p < .05$ ；\*\* $p < .01$ ；\*\*\* $p < .001$ ；情境：誘發情境



在進一步的單純主要效果考驗中發現，高、低社交焦慮組在線索為社交正向詞彙時的單純主要效果達顯著 ( $F(1,350)=11.77, p<.01$ ；詳見表 4-18)，也就是說當線索為社交正向詞彙時，高社交焦慮組的線索有效性指標分數 ( $M=-15.54, SD=47.38$ ) 明顯比低社交焦慮組的低 ( $M=31.89, SD=60.73$ )。另外，誘發社交焦慮情境變項在線索是社交正向詞彙的單純主要效果達顯著 ( $F(1,350)=10.19, p<.01$ )，亦即當線索是社交正向詞彙時，被分派至社交焦慮情境之受試者的線索有效性指標分數 ( $M=30.37, SD=64.44$ )，比未被分派至社交焦慮情境的受試者 ( $M=-13.77, SD=43.77$ ) 的高。

另外，詞彙類別變項在高社交焦慮組中的單純主要效果達顯著 ( $F(6,300)=7.50, p<.001$ ；詳見表 4-16)，經過事後比較 (LSD) 發現，當線索為社交正向詞彙時，高社交焦慮組受試者的線索有效性指標分數 ( $M=-15.54, SD=47.38$ )，明顯比其他類別的線索有效性指標分數低。其次，詞彙類別變項在無誘發社交焦慮情境中的單純主要效果達顯著 ( $F(6,300)=7.33, p<.001$ ；詳見表 4-17)，經過事後比較 (LSD) 發現，當線索為社交正向詞彙時，未被分派至社交焦慮情境的受試者的線索有效性指標分數 ( $M=-13.77, SD=43.27$ )，明顯比其他詞彙的線索有效性指標分數低。但其他任何的效果皆未達顯著。

表 4-16 組別&詞彙類別之間的交互作用達顯著後的單純主要效果考驗

變異來源	SS	df	MS	F
<u>組別</u>				
在中性詞彙	37.62	1	37.62	0.015
在一般正向詞彙	1469.63	1	1469.63	0.57
在社交正向詞彙	30207.56	1	30207.56	11.77**
在身體正向詞彙	2780.07	1	2780.07	1.08
在一般威脅詞彙	640.88	1	640.88	0.25
在社交威脅詞彙	34.35	1	34.35	0.013
在身體威脅詞彙	4.84	1	4.84	0.0018
細格內誤差(w.cell)	898,591.46	350	2,567.40	
<u>詞彙類別</u>				
在高社交焦慮組	98,381.08	6	16,396.85	7.50***
在低社交焦慮組	15380.57	6	2563.43	1.17
誤差項	655,862.40	300	2,186.21	

\* $p < .05$ , \*\* $p < .01$ , \*\*\* $p < .001$

表 4-17 誘發情境&詞彙類別之間的交互作用達顯著後的單純主要效果考驗

變異來源	SS	df	MS	F
<u>誘發情境</u>				
在中性詞彙	7961.21	1	7961.21	3.10
在一般正向詞彙	49.19	1	49.19	0.02
在社交正向詞彙	26159.95	1	26159.95	10.19**
在身體正向詞彙	6009.31	1	6009.31	2.34
在一般威脅詞彙	66.95	1	66.95	0.03
在社交威脅詞彙	313.56	1	313.56	0.12
在身體威脅詞彙	2506.75	1	2506.75	0.98
細格內誤差(w.cell)	898,591.46	350	2,567.40	
<u>詞彙類別</u>				
在有誘發社交焦慮情境中	17285.14	6	2880.86	1.32
在無誘發社交焦慮情境中	96,094.40	6	16,015.73	7.33***
誤差項	655,862.40	300	2,186.21	

綜合以上，在線索有效性指標分數的分析上有下列結果：第一、當線索為社交正向詞彙時，高社交焦慮組的線索有效性指標分數明顯比低社交焦慮組的低。第二、當線索為社交正向詞彙時，高社交焦慮組受試者的線索有效性指標分數，明顯比其他類別的線索有效性指標分數低。第三、當線索為社交正向詞彙時，未被分派至社交焦慮情境的受試者的線索有效性指標分數，明顯比其他詞彙的線索有效性指標分數低。第四、當線索是社交正向詞彙時，被分派至社交焦慮情境之受試者的線索有效性指標分數，比未被分派至社交焦慮情境的受試者的高。

然而，為了驗證本研究假設的預測，主要是想探討在不同誘發社交焦慮情境下的高低社交焦慮組，對於不同詞彙類別的線索有效性指標分數，因此在以下的分析我們將採用事前比較，將兩個不同的誘發社交焦慮情境變項拆開個別分析；並以獨立樣本 t 檢定探討高、低社交焦慮組在不同詞彙類別中的線索有效性指標分數。表 4-18 為高、低社交焦慮組在不同誘發情境與詞彙類別中，線索有效性指標分數的平均數與標準差以及獨立樣本 t 檢定之結果摘要表。而圖 3、圖 4 分別是被分派與未被分派至社交焦慮情境中，高、低社交焦慮組在不同詞彙類別的線索有效性指標分數。

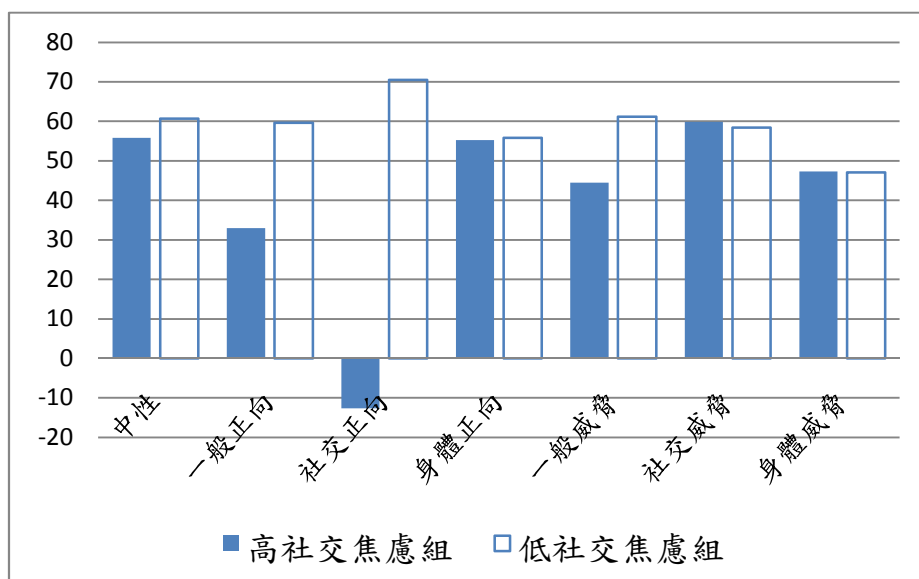


圖 3.被分派至社交焦慮情境的高、低社交焦慮組的線索有效性指標分數

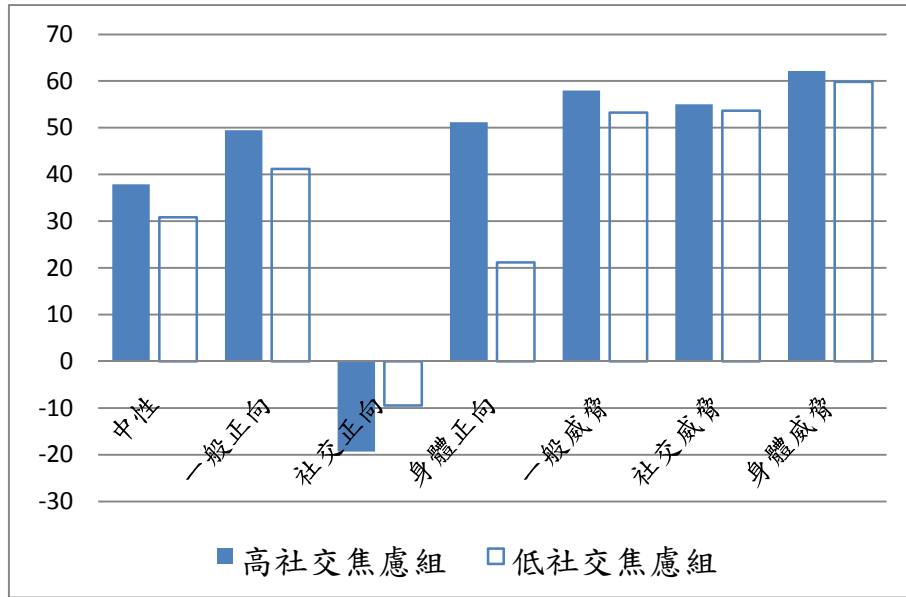


圖 4. 未被分派至社交焦慮情境的高、低社交焦慮組的線索有效性指標分數

表 4-18 高、低社交焦慮組在不同誘發情境與不同詞彙類別中，線索有效性指標分數的平均數與標準差

有誘發社交 焦慮情境	高社交焦慮(n=14)		低社交焦慮(n=15)		t(27)
	M	SD	M	SD	
中性	55.79	55.33	60.64	35.74	-0.28
一般正向	32.99	55.04	59.61	52.75	-1.33
社交正向	-12.60	46.93	70.47	51.87	-4.51***
身體正向	55.25	51.78	55.81	60.92	-0.03
一般威脅	44.50	48.45	61.15	45.82	-0.95
社交威脅	59.85	70.24	58.43	43.98	0.07
身體威脅	47.32	32.72	47.11	70.43	0.01
無誘發社交 焦慮情境	高社交焦慮(n=11)		低社交焦慮(n=14)		t(23)
	M	SD	M	SD	
中性	37.92	49.29	30.83	65.47	0.30
一般正向	49.49	27.14	41.19	39.66	0.59
社交正向	-19.28	49.98	-9.44	38.58	-0.56
身體正向	51.21	48.03	21.16	61.35	1.33
一般威脅	58.00	40.00	53.27	57.85	0.23
社交威脅	55.04	43.03	53.69	39.35	0.08
身體威脅	62.18	47.58	59.84	48.08	0.12

\* $p < .05$ , \*\* $p < .01$ , \*\*\* $p < .001$

結果顯示，被分派至社交焦慮情境中的高、低社交焦慮組在線索是社交正向詞彙時的組間差異達顯著 ( $t(27) = -4.51, p < .001$ )，也就是說被分派至社交焦慮情境中的高社交焦慮組在線索是社交正向詞彙的線索有效性指標分數 ( $M = -12.60, SD = 46.93$ )，明顯比低社交焦慮組的低 ( $M = 70.47, SD = 51.87$ )。但是當線索為一般類別（中性、一般正向及一般威脅）詞彙和其他類別詞彙時，被分派至社交焦慮情境中的高、低社交焦慮組的組間差異皆未達顯著 ( $p > .05$ )。另外，在未被分派至社交焦慮情境中，高、低社交焦慮組在線索為所有類別詞彙時的組間差異皆未達顯著 ( $p > .05$ )，以上可詳見表 4-18。

由以上結果，我們發現當線索是社交正向詞彙時，被分派至社交焦慮情境中的高、低社交焦慮組，在線索有效性指標分數上有顯著差異，即高社交焦慮組的線索有效性指標分數明顯比低社交焦慮組的低；但當線索是一般類別（包括中性、一般正向及一般威脅）與其他類別詞彙時，被分派至社交焦慮情境中的高、低社交焦慮組，在線索有效性指標分數上皆無顯著差異。另外，當線索為所有類別詞彙時，未被分派至社交焦慮情境中的高、低社交焦慮組在線索有效性的指標分數上皆無顯著差異。